

上下床板と縦横リブによる
サンドイッチプレートの解析

室蘭工業大学 正量 工博 龍町純雄
北見工業大学 正量 工修 大島俊之

1 まえがき

本論文は薄肉平板によつて格子状に直交させて組み合わせてつくられた縦横リブを、上下二板の薄肉平板ではこんなような構造を取扱つてゐる。

この種の立体構造物は有限要素法などによく解く場合には非常に多くの労力を必要とするが、そこで簡単な解析方法を用いることによつて、少ない計算時間で精度よい近似解を求めることができ、非常に有効であると思われる。

解析に当たつては構造を各平面折板要素に分解する。そして一つの要素についての関係式は先に著者らが発表している変位剪断式 (Displacement-Shear-Equation) を用ひる。そして各構造要素の接合線にそつて剪断力のつりあひを考え、変位が表わされた二階常微分方程式を誘導する。即ち、各構造要素は滑節結合されてゐるといふことによつて、ある一つの区間線につつて任意の点でつりあひが連続してゐることとする。また接合線に作用する垂直力については、接合線の交換、前後の Stress, Displacement が相等しいといふことから式を導いてゐる。即ち、薄板そのものは面内変形に対する抵抗はあるが、面外变形には膜のように抵抗しないものと考えてゐる。

得られた基本微分方程式はいままで何度か発表してゐるようになり、リブの交換における応力と変位の連続条件を用ひながら積分し、適合条件を用ひて精度のよい基本差分方程式に変換する。即ち、一般的な数学的差分化とちかく、力学的な適合条件を考慮しながら積分してゐるので、本法は力学的差分法ともいふべき手法である。またこのような手順が正当なものであるか否かは、区間長を無限に短めくして、基本微分方程式に一致するか否かで検証する。

本論の解析方法を応用するによつて、箱形の場合、ダイヤフラムによる分割長と断面長の比が1以下の場合には、じニシ結合構造の計算値が十分な精度が判別つてゐるのに、多室箱形のダイヤフラムの解析に応用するこゝが可能である。

2. 折板要素に関する関係式

図のような折板要素につつて以下のようないくつかの関係式が成立する。ただし、ホアソニ比レ=0

$$N = ET\alpha, \quad U = \frac{\partial u}{\partial x} \text{ とす。}$$

$$GT\alpha(V_A + V_B) = GT(U_A - U_B) + (\overline{S_{AB}} - \overline{S_{BA}}) \quad (1)$$

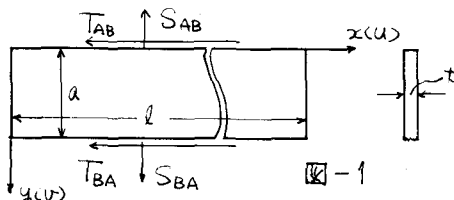


図-1

$$T_{AB}(x) = \frac{N}{a} (zU_A + U_B) + \frac{Gt}{2} (V_A + V_B) + \frac{Gt}{a} (U_B - U_A) \quad (2)$$

$$T_{BA}(x) = \frac{N}{a} (zU_B + U_A) - \frac{Gt}{2} (V_A + V_B) - \frac{Gt}{a} (U_B - U_A) \quad (3)$$

3. フーリエ定理とその反転公式³⁾

差分式のように離散量を定義した力学的場における、次のような関係式が成立する。

$$S_i[f(x)] = \sum_{x=1}^{n-1} f(x) \sin \frac{\pi}{n} x - (4) \quad \rightarrow \quad f(x) = \frac{1}{n} \sum_{k=1}^{n-1} S_i[f(x)] \sin \frac{\pi k}{n} x - (5)$$

$$C_i[f(x)] = \sum_{x=1}^{n-1} f(x) \cos \frac{\pi}{n} x - (6) \quad R_i[f(x)] = C_i[f(x)] + \frac{1}{2} f(0) + \frac{1}{2} (-1)^x f(n) - (7) \quad \text{とすれば}$$

$$\text{反転公式は } f(x) = \frac{1}{n} R_i[f(x)] + \frac{1}{n} \sum_{k=1}^{n-1} [R_i[f(x)] \cos \frac{\pi k}{n} x + \frac{1}{n} (-1)^x R_n[f(x)]] - (8)$$

また

$$S_i[\Delta^2 f(x-1)] = -\sum_{k=1}^{n-1} \{(-1)^k f(k) - f(0)\} - D_i S_i[f(x)] - (9)$$

$$S_i[\Delta^2 f(x-1)] = -2 \cdot \sum_{k=1}^{n-1} R_i[f(x)] - (10) \quad \text{ここで } D_i = 2(1 - \cos \frac{\pi}{n})$$

$$C_i[\Delta^2 f(x-1)] = (-1)^{k+1} f(k-1) - \Delta f(0) - D_i R_i[f(x)] - (11)$$

$$C_i[\Delta^2 f(x-1)] = -(-1)^k \Delta f(k-1) - \Delta f(0) + (1 + \cos \frac{\pi}{n}) \{(-1)^k f(k) - f(0)\} + 2 \cdot \sum_{k=1}^{n-1} S_i[f(x)] - (12)$$

4. 基本式の誘導

図のような構造にありて、折板構造

要素の x, y, z の 3 方向の交線に

そして剪断力のつりあい式を立て、

3 本の基本式を得る。その際、

簡単のため、構造、変形状態とも、

板の上下の中立面に対する逆対称であると

仮定して、次のようにおく。

$$U^0 = -U^x, \quad V^0 = -V^x, \quad W^0 = W^x - (13) \quad \text{図-2}$$

まず、図の x 方向の交線 ($y=m$) にそって、区间 r と $r+1$ の間にありて

$$T_{m,m+1}(x) + T_{m,m-1}(x) + T_m^0(x) = 0 - (14)$$

= ① T₁ = (2), (3) 式で記号を上図に従って書きかえた式を代入し、整理すると、

$$\left(\frac{2}{3} N_x + \frac{N_{ox}}{6} \right) U_m + \frac{N_x}{6} (U_{m+1} + U_{m-1}) - 2G \left(\frac{T}{\lambda_2} + \frac{T_{ox}}{h_{ox}} \right) U_m + \frac{GT}{\lambda_2} (U_{m+1} + U_{m-1}) + \frac{GT}{\lambda_2} (V_{m+1} - V_{m-1}) + G T_{ox} W_m = 0 - (15)$$

= ここで文献¹⁾を参考して上式を差分式に変換することを考える。まず式を判別しやすくするために

$$K \ddot{U} + G_1 U + G_2 \dot{V} = 0 - (16)$$

$$\text{ここで } K = \left(\frac{2}{3} N_x + \frac{N_{ox}}{6} \right) \text{ etc, } \quad G_1 = -2G \left(\frac{T}{\lambda_2} + \frac{T_{ox}}{h_{ox}} \right) \text{ etc, } \quad G_2 = \frac{GT}{\lambda_2} \text{ etc.}$$

とおくと、(16)式は積分されて

$$\frac{K}{\lambda} \Delta_r^2 U_{r-1} + \frac{\lambda}{6} G_1 (\Delta_r^2 U_{r-1} + 6U_r) + \frac{1}{2} G_2 \Delta_r V_{r-1} = 0 - (17)$$

となる。ここで、 $\Delta_r^2 f(x-1) = f(x+1) - 2f(x) + f(x-1)$

$$\Delta_r f(x-1) = f(x+1) - f(x-1)$$

以上より基本式(15)は次のような差分方程式となる。

$$\left(\frac{N_x}{G\lambda_1} + \frac{G\lambda_1}{G\lambda_2}\right) \Delta_r^2 \Delta_m^2 U_{r,m-1} + \left(\frac{N_x}{\lambda_1} + \frac{N_{ox}}{G\lambda_1} - \frac{G\text{Tox}\lambda_1}{3\text{hox}}\right) \Delta_r^2 U_{r-1,m} + \frac{G\lambda_1}{\lambda_2} \Delta_m^2 U_{r,m-1} - 2 \frac{G\text{Tox}\lambda_1}{\text{hox}} U_{r,m} \\ + \frac{G\lambda_1}{4} \Delta_r \Delta_m V_{r-1,m-1} + \frac{G\text{Tox}\lambda_1}{2} \Delta_r W_{r-1,m} = 0 \quad \text{--- (18)}$$

$N_x = E\lambda_z, N_{ox} = E\text{Tox}\text{hox}$, これが Conjugate な方向に式をも

$$\left(\frac{N_y}{G\lambda_2} + \frac{G\lambda_2}{G\lambda_1}\right) \Delta_r^2 \Delta_m^2 V_{r,m-1} + \left(\frac{N_y}{\lambda_2} + \frac{N_{oy}}{G\lambda_2} - \frac{G\text{Toy}\lambda_2}{3\text{hoy}}\right) \Delta_m^2 V_{r,m-1} + \frac{G\lambda_2}{\lambda_1} \Delta_r^2 V_{r-1,m} - 2 \frac{G\text{Toy}\lambda_2}{\text{hoy}} V_{r,m} \\ + \frac{G\lambda_2}{4} \Delta_r \Delta_m U_{r-1,m-1} + \frac{G\text{Toy}\lambda_2}{2} \Delta_m W_{r-1,m-1} = 0 \quad \text{--- (19)}$$

この方向には、4枚のリブが交差しているので4つの方向の剪断力のつりあい式をとる。

$$\frac{G\text{Tox}\text{hox}}{\lambda_1} \Delta_r^2 W_{r-1,m} + \frac{G\text{Toy}\text{hoy}}{\lambda_2} \Delta_m^2 W_{r-1,m-1} - G\text{Tox}\Delta_r U_{r-1,m} - G\text{Toy}\Delta_m V_{r,m-1} \\ = \frac{2}{\lambda_1} \left\{ \bar{P}(r,m) \Big|_0^\lambda - \bar{P}(r,m-1) \Big|_0^\lambda \right\} + \frac{2}{\lambda_2} \left\{ \bar{P}(r,m) \Big|_0^\lambda - \bar{P}(r,m-1) \Big|_0^\lambda \right\} - P_{rm} \quad \text{--- (20)}$$

ただし、 P はリブの上に載荷する分布荷重、 \bar{P} は集中荷重。

以上の(18)(19)(20)式が基本差分方程式であり、(10)～(12)のフーリエ変換を行なって
 $\widetilde{U} = \text{IR}_m S_i [U(x,y)], \quad \widetilde{V} = S_m \text{IR}_i [V(x,y)], \quad \widetilde{W} = S_m S_i [W(x,y)] \quad \text{--- (21)}$

とおしてマトリックス表示すると、

$$\begin{bmatrix} a_{11} & a_{12} & a_{13} \\ a_{21} & a_{22} & a_{23} \\ a_{31} & a_{32} & a_{33} \end{bmatrix} \begin{bmatrix} \widetilde{U} \\ \widetilde{W} \\ \widetilde{V} \end{bmatrix} = \begin{bmatrix} \widetilde{P}_1 \\ \widetilde{P}_2 \\ \widetilde{P}_3 \end{bmatrix} \quad \text{--- (22)} \quad \text{ただし } \widetilde{P}_1, \widetilde{P}_2, \widetilde{P}_3 \text{ は境界値を含む}$$

$$a_{11} = \frac{1}{c} \left(\frac{N_x}{\lambda_1} + \frac{G\lambda_1}{\lambda_2} \right) D_i D_m - \left(\frac{N_x}{\lambda_1} + \frac{N_{ox}}{G\lambda_1} - \frac{G\text{Tox}\lambda_1}{3\text{hox}} \right) D_m - \frac{G\lambda_1}{\lambda_2} D_i - 2 \frac{G\text{Tox}\lambda_1}{\text{hox}}$$

$$a_{12} = G\text{Tox}\sin \frac{m\pi}{n}, \quad a_{13} = G\text{Tox}\sin \frac{m\pi}{n} \sin \frac{i\pi}{k}, \quad a_{21} = 2 a_{12}, \quad a_{22} = -G \left(\frac{\text{Tox}\text{hox}}{\lambda_1} D_m + \frac{\text{Toy}\text{hoy}}{\lambda_2} D_i \right)$$

$$a_{23} = 2 G\text{Toy}\sin \frac{i\pi}{k}, \quad a_{31} = a_{13}, \quad a_{32} = a_{23}$$

$$a_{33} = \frac{1}{c} \left(\frac{N_y}{\lambda_2} + \frac{G\lambda_2}{\lambda_1} \right) D_i D_m - \left(\frac{N_y}{\lambda_2} + \frac{N_{oy}}{G\lambda_2} - \frac{G\text{Toy}\lambda_2}{3\text{hoy}} \right) D_i - \frac{G\lambda_2}{\lambda_1} D_m - 2 \frac{G\text{Toy}\lambda_2}{\text{hoy}}$$

5. 微分方程式への収束。

(22)式につけて区画長 λ_1, λ_2 を無限大にしておき、なる微分方程式に収束するか検討する。

$$\det |a| \cdot \widetilde{W} = (a_{11} a_{33} - a_{13} a_{31}) \widetilde{P}_2 \quad \text{--- (23)}$$

= 分割を無限小にして、 n, k を無限大にすると近似的に $l_x = n\lambda_1, l_y = k\lambda_2$.

$$D_i \approx \left(\frac{i\pi}{k}\right)^2 - \frac{1}{12} \left(\frac{i\pi}{k}\right)^4, \quad \sin \frac{i\pi}{k} \approx \left(\frac{i\pi}{k}\right) - \frac{1}{6} \left(\frac{i\pi}{k}\right)^3 \quad (m \text{ は } 2 \text{ で同様})$$

となるので、(23)式に代入し、 $\det |a|$ を計算し、高次の項を省略し、整理する。

$$\det |a| \approx \left[\frac{2T_1}{\lambda_1} \left\{ a_y \left(z + \frac{T_1}{3\lambda_1} \right) + a_x \right\} - 2 \frac{\text{Tox}^2}{\lambda_1^2 \lambda_2^2} \right] D_x^4 + \left[\frac{1}{\lambda_1} \left\{ 2a_y T_1 + 2a_x T_1 \left(z + \frac{T_1}{3\lambda_1} \right) + 2a_y T_2 \left(z + \frac{T_1}{3\lambda_1} \right) \right. \right. \\ \left. \left. + 2a_x T_2 \right\} - 2 \frac{\text{Tox}^2}{\lambda_1^2 \lambda_2^2} \left(z + \frac{T_1}{3\lambda_1} \right) - 2 \frac{\text{Toy}^2}{\lambda_2^2 \lambda_1^2} \left(z + \frac{T_1}{3\lambda_1} \right) \right] D_x^2 D_y^2 + 4 \left\{ \frac{T_1}{\lambda_1} a_x a_y - a_x \frac{\text{Tox}^2}{\lambda_1^2 \lambda_2^2} \right\} D_x^2 \\ + \left[\frac{2T_2}{\lambda_2} \left\{ a_x \left(z + \frac{T_2}{3\lambda_2} \right) + a_y \right\} - 2 \frac{\text{Toy}^2}{\lambda_2^2 \lambda_1^2} \right] D_y^4 + 4 \left\{ \frac{T_2}{\lambda_2} a_x a_y - a_y \frac{\text{Toy}^2}{\lambda_2^2 \lambda_1^2} \right\} D_x^2 \quad \text{--- (24)}$$

$$T_1 = \frac{\text{Tox}\text{hox}}{\lambda_2}, \quad T_2 = \frac{\text{Toy}\text{hoy}}{\lambda_1}, \quad a_x = \frac{\text{Tox}}{\text{hox}+\lambda_2}, \quad a_y = \frac{\text{Toy}}{\text{hoy}+\lambda_1}, \quad D_x = \left(\frac{n\pi}{l_x}\right), \quad D_y = \left(\frac{i\pi}{l_y}\right)$$

一方(23)式の右辺は、分割を極限までした時に張る定数項として

$$\frac{(a_{11} a_{33} - a_{13} a_{31})}{G\lambda_1 \lambda_2} \widetilde{P}_2 = \frac{4 \text{Tox} \text{Toy}}{G \lambda_1^3 \text{hox} \text{hoy} \lambda_1^2 \lambda_2^2} \widetilde{P}_2 \approx \frac{4 \text{Tox} \text{Toy}}{G \lambda_1^3 \text{hox} \text{hoy} \lambda_1 \lambda_2} \cdot q \quad \text{--- (25)}$$

さて、 D_x^3 , D_y^3 の係数は、 $\lambda_1, \lambda_2, a_x, a_y$ の値を代入して変形するといずれも零となる。また、 D_x^4 の係数を(25)式の係数で割り、 B_x とする

$$B_x = G \pi h_{ox}^2 + \frac{G \pi h_{oy}^3}{6 \lambda_2} \div E \left(\frac{1}{2} \pi h_{ox}^2 + \frac{\pi h_{oy}^3}{12 \lambda_2} \right) \quad \text{--- (26)}$$

となり、これは中立軸に関する、リブと上下二枚のフランジの断面=次モーメントを λ_2 で平均化した値と同義であり、 B_y についても同様である。又、 B_{xy} については、 $B_{xy} = G \pi (h_{ox}^2 + h_{oy}^2)$ となる。

以上より、高次の項を省略すると区間長を無限小にするヒヤードイツプレートの基本式は

$$B_x \frac{\partial^4 w}{\partial x^4} + B_{xy} \frac{\partial^4 w}{\partial x^2 \partial y^2} + B_y \frac{\partial^4 w}{\partial y^4} = f \quad \text{--- (27)}$$

となり、直交異方性板の微分方程式に一致するヒヤードイツプレート。

6. 数値計算例

図6のような断面諸元を代入して周辺単純支持サニドイツプレート4枚の各点に図6のような集中荷重Pが作用した時の各点のU, U', W, σ_x , σ_y を求め、影響線を書いた。

$$E = 34800 \text{ kg/cm}^2, G = 12610 \text{ kg/cm}^2$$

$$T = 0.3 \text{ cm}, T_{ox} = T_{oy} = 0.5 \text{ cm}, h_{ox} = h_{oy} = 6 \text{ cm}$$

$$\lambda_1 = \lambda_2 = 10 \text{ cm}.$$

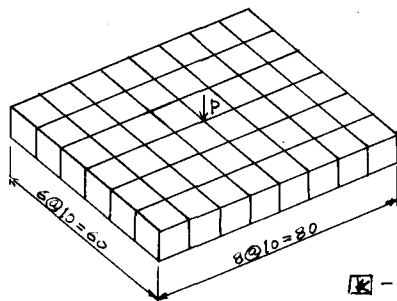


図-3

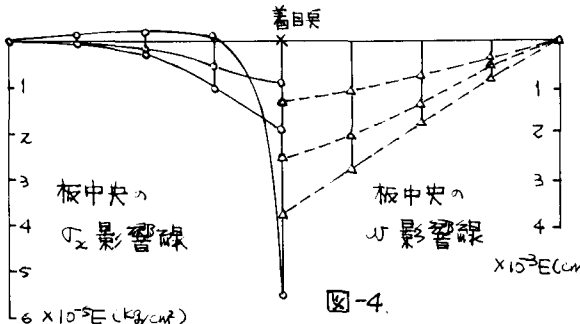


図-4.

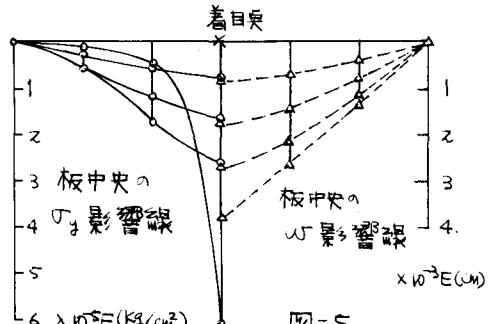


図-5

以上は周辺単純支持サニドイツプレートの計算であるが、直交するリブをダイヤフラムと考えると、荷重点となりの応力 σ_x, σ_y の値が漸近的に減少していることから見て、ダイヤフラムの効果と、考えると似通う、その方面に応用可能なことを示唆している。

7. 結論

以上、サニドイツプレートに対する理論式を折板理論から誘導し、数値計算によって応力、変位、影響線を求めて、その構造特性を調べた。また区間長を無限小にして、基本微分方程式を求めた所、直交異方性板の微分方程式になることが判かり、理論式を検討することことができた。今後はダイヤフラムのある多室箱形の計算、各種境界条件の場合の計算などに発展させていくつもりと思っている。

参考文献

- 1)能町・松岡・大島：マトリックス構造解析法研究発表会論文集、第2回（昭和46年6月）
- 2)能町・尾崎・大島：土木学会第26回年次学術講演会講演集、第1部、PS05（昭和46年10月）
- 3)Nomachi, Matsuoka: Applications of Finite Fourier Integration Transforms for Structural Mechanics, Proc. of the 20th Jap. Nat. Cong. for Appl. Mech. (1970)